

名古屋大学 正員 松林 寿一郎

〔1〕 まえがき ; 流出解析において、どの程度の大きさの流域を解析単位に選ぶかというランピングスケールの問題は流出解析の基本的問題の1つである。遅い中間流出を対象としたとき、ランピングスケールを決定する際の指標となる流出特性のばらつきは2つの要因によって生じていると考えられる。まず1つは流域内の各部分流域における地形・地質特性の差によって流出特性が異なることであり、他の1つは降雨の空間的分布が降雨毎に異なるという不確定性によるものである。本報告の目的は、流出特性のばらつきとこれら2つの要因の関係を明らかにすることである。

〔2〕 部分流域の流出特性の相違 ; 著者はこれまでに山地流域の山腹における種々の斜層からの流出が合成されることによって比較的小さな流域でも平均化が卓識することを明らかにしている。本文で扱う部分流域はこの平均化が十分進んだ流域であり、その流出ハイドログラフは部分流域内斜層の地形・地質特性から導びかれる無次元パラメータ A_i, B_i の分布 $P_i(A_i, B_i)$ とパラメータ $\lambda_i(A_i, B_i)$ をもつ斜層からの無次元ハイドログラフ $g'_i(t)$ を用いて(1)式によって与えられ、無次元低減係数は(2)式によって計算される。ここに g'_i は i 番目部分流域の無次元流量、低減係数および $A_i^2, \bar{A}_i, \sigma_{A_i}^2$ はオイ部分流域の無次元流量、低減係数およびパラメータ A_i の平均・分散である。(1)(2)式において流域の地形・地質特性の相違は $P_i(A_i, B_i)$ を通じて g'_i, λ_i の相違として現われている。

$$g'_i(t) = \iint P_i(A_i, B_i) g_i(t; A_i, B_i) dA_i dB \quad (1)$$

$$\lambda'_i = \frac{\exp(\bar{A}_i + \frac{\sigma_{A_i}^2}{2})}{1 - \frac{1}{2} \exp(\bar{A}_i + \frac{\sigma_{A_i}^2}{2})} \quad (2)$$

〔3〕 降雨の空間的分布特性 ; 降雨の空間的分布は降雨毎に異なり、その変動特性を数量化するためここでは地点降雨間の相關係数を求めこそ山を観測点間の距離と対応づけた。図1は両者の関係を長良川の16の降雨観測点の日データにつけて示したものであり、観測点間距離が広がるにつれて相關係数が小さくなつてゆく様子が認められる。

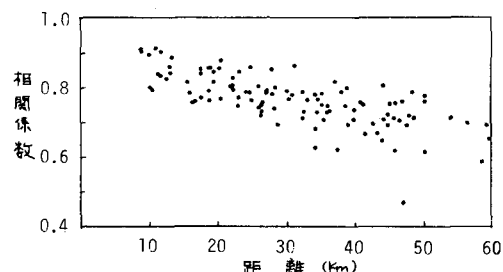


図1 距離-相關係数の関係

〔4〕 流出特性のばらつき指標 ; 流出特性として、ここでは流量と低減係数を取り扱った。まず、流量についてばらつきの指標を示そう。遅い中間流出を日単位で扱う場合には河道ごとの遅れは無視してよいから、対象とする流域やからの流出流量は流域平均降雨で無次元化すると(3)式で表わされる。ここに a_i はオイ部分流域の降雨強度、全流域面積に対する面積比である。(3)式中 η_i は降雨毎に変化する確率変量であり、これによって g'_i も降雨毎に変化する。この流量 g'_i のばらつきとして、ここでは降雨が一様な場合の無次元ハイドログラフ g'_0 ((4)式) を基準とし、(3)式(4)式の差の2乗の期待値 η_i^2 ((5)式) によつて評価する。ここで(5)式の第2式は部分流域での降雨の平均値 \bar{r} 、分散の r^2 を共通とし、第1式を Taylor 展開して2次の項まで取つたものである。また R_{ij} はオイ部分

流域間の降雨の相関係数である。つぎに、低減係数のばらつきについても、流量の場合と同様にして、基準化低減係数 α' およびばらつきの $\sigma_{\alpha'}^2$ はその山ぞく(6)式・(7)式で表される。このうち(5)式・(7)式の表現は $R_{ij}=1$ すなはち降雨が流域内で一様な場合、 $\alpha'_i=\beta'_j$ あるいは $\lambda'_i=\lambda'_j$ すなはち部分流域間の流出特性に差のない場合にはその山ぞくゼロとなり、ここで求めようとしたばらつきの条件を満している。

$$\alpha' = \frac{\sum r_i a_i \beta'_i}{\sum r_i a_i} \quad \dots (3) \quad \beta'_i = \sum a_i \beta'_i \quad \dots (4)$$

$$\sigma_{\alpha'}^2 = E \left[\left(\frac{\sum r_i a_i \beta'_i}{\sum r_i a_i} - \sum a_i \beta'_i \right)^2 \right]$$

$$= \frac{\sigma_r^2}{F^2} \sum_i \sum_j R_{ij} (a_i \beta'_i - a_i \sum a_k \beta'_k) (a_j \beta'_j - a_j \sum a_k \beta'_k) \quad \dots (5)$$

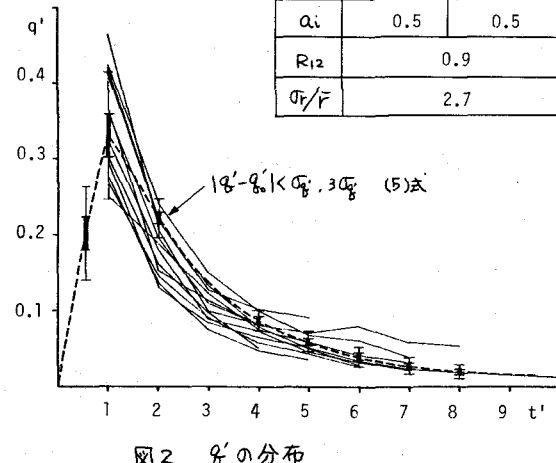
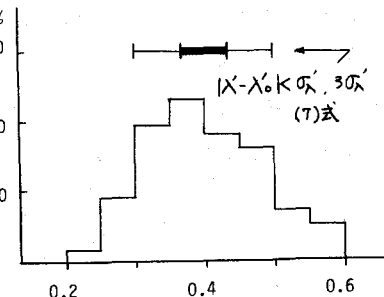
$$\lambda'_i = \frac{\sum b_i \lambda'_i}{\sum b_i}, \quad b_i = a_i / (1 + \lambda'_i / 2) \quad \dots (6)$$

$$\sigma_{\lambda'}^2 = \frac{\sigma_r^2}{F^2} \sum_i \sum_j R_{ij} \frac{(b_i \lambda'_i \sum b_k - b_i \sum b_k \lambda'_k) (b_j \lambda'_j \sum b_k - b_j \sum b_k \lambda'_k)}{(\sum b_k)^4} \quad \dots (7)$$

5 実流域での計算例； 対象とした流域は長良川左支川吉田川の下津原流域(118.0 km^2)であり、ここでは地形解析データをもとに上下2つの部分流域に分割した。表1は各部分流域のパラメータAの分布、低減係数、面積率、および降雨の相関係数・変動係数をまとめ表示したものである。まず流量のばらつきについて、図2には、破線で示した基準ハイドログラフ β'_0 を中心にして、(5)式で求めた $|\beta'_i - \beta'_0| < \sigma_{\beta'_0}$, $3\sigma_{\beta'_0}$ の範囲をそれを山太線・細線によって示してある。これに対して実測降雨・流量より中間流出成分を抽出し、単位降雨・単位面積あたりで表した無次元流量が図中の実線である。両者の分布はほぼ対応している。つぎに低減係数のばらつきについて、(6)式(7)式から求めた α' 、 α はその山ぞく $\alpha'_i = 0.41$, $\alpha = 0.03$ であった。これに対し上述の実測ハイドログラフから求めた λ' の分布を図3に示した。図には $|\lambda'_i - \lambda'_0| < \sigma_{\lambda'_0}$, $3\sigma_{\lambda'_0}$ の範囲を図2と同様に示したがこれによると実測値のばらつきは(7)式によるばらつきよりも少しだ大きいがほぼ同程度であるといつてもよい。

表1
部分流域の特性

i	1 (上流域)	2 (下流域)
A	-1.56	-1.20
σ_A^2	0.77	0.70
λ'_i	0.336	0.474
a_i	0.5	0.5
R_{12}		0.9
σ_r/F		2.7

図2 β' の分布図3 λ' の分布

6 あとがき； 以上述べた中間流出を対象として流出特性のばらつきを部分流域の流出特性の相違と降雨の空間分布の不確定性から導いていた。この方法はとくに流量データの乏しい流域において有効に利用できるであろう。なお、実流域における検討がまだ不十分であり、今後は大きな異なる流域で解析を進めたい。

参考文献: Takagi,F. On the averaging process of runoff characteristics within watersheds Proc. 3rd Inter'l Sympo. on Stochastic Hydraulics 1980 Tokyo